

水样中⁶⁰Co+⁹⁵Zr的测量方法研究

赵希岳¹, 朱 劍¹, 余秉琦¹, 杨林松¹, 王寿祥²

(1.江苏工业学院化学工程系, 江苏常州 213016; 2.浙江大学原子核农业科学研究所, 农业部核农学重点开放实验室, 浙江 杭州 310029)

摘要:采用BH1224型多道能谱仪测量了⁶⁰Co+⁹⁵Zr水样中的能谱图,确定了各自的测量道。并对其测量的重复性、样品量和活度对测量结果的影响等进行了分析,确定了相应的校正曲线。结果显示:(1)⁹⁵Zr能谱有3个峰,选取S₃峰(540~680能谱道)作为样品活度的测量道较为合适,⁶⁰Co能谱有2个峰,选取S₅峰(1630~1900能谱道)作为样品活度的测量道较为合适;(2)测量时间对测量结果没有影响;(3)随着样品量的增加,同一活度样品的测量值呈下降趋势,应进行该项目的校正,校正曲线⁶⁰Co为Y₁=1.0146-0.0060X₁,⁹⁵Zr为Y₂=1.0183-0.0070X₂(X₁、X₂为测样的样品量mL);(4)仪器死时间引起的漏计数不容忽视,对测量结果应进行死时间校正,其校正系数⁹⁵Zr为Y₃=101.33-0.0226X₃,⁶⁰Co为Y₅=101.56-0.0233X₅;(X₃、X₅为测样的计数率cps)。

关键词:⁶⁰Co+⁹⁵Zr; 测量方法; 校正系数; 能谱; γ射线

中图分类号:X591; X830.2 文献标识码:A 文章编号:1672-2043(2008)05-2109-05

Measurement of Water Sample Contains⁶⁰Co and⁹⁵Zr

ZHAO Xi-yue¹, ZHU Jie¹, YU Bing-qⁱ¹, YANG Lin-song¹, WANG Shou-xiang²

(1. Department of Chemical Engineering, Jiangsu Polytechnic University, Changzhou 213016, China; 2. Institute of Nuclear Agricultural Sciences, Zhejiang University, Key Laboratory of Nuclear Agricultural Science, the Ministry of Agricultural, Hangzhou 310029, China)

Abstract: The energy spectrum curve of⁶⁰Co and⁹⁵Zr solid samples were measured by using BH1224 multichannel energy spectrometer, and the influence of its metrical repeatability, the weight of samples and radioactivity on the results were determined and analyzed, then the corresponding calibration curve was concluded. The results showed: (1)The energy spectrum of⁹⁵Zr had three apices, it's rather suitable to select the apex of S₃(energy spectrum path: 540~680) as the measurement path; (2)The time of measurement had no effects on the measuring results; (3)With increasing samples' weight, the measuring values of the samples with the same radioactivity was downtrend, which showed that the values should be calibrated. The calibration curve was as follows: Y₁=1.0146-0.0060X₁ for⁶⁰Co, Y₂=1.0086-0.0060X₂ for⁹⁵Zr (the X₁、X₂ was the samples weight, the unit is mL); (4)The leaked counts caused by the dead time should not be neglected and the measuring results should be calibrated. The calibration factor was as follows: Y₃=101.33-0.0226X₃ for⁹⁵Zr; Y₅=101.56-0.0233X₅ for⁶⁰Co (the X₃、X₅ was the counts per second, the unit is cps).

Keywords:⁶⁰Co+⁹⁵Zr; measurement; calibration factor; energy spectrum; γ-ray

为实现核电的可持续发展和保持高质量环境的完美统一,研究核电站放射性排放物在生态环境中的行为特性是一个相当活跃的学科领域^[1]。放射性钴是压水堆核电站主要的放射性液态流出物。排出的放射

性钴中有⁵⁸Co和⁶⁰Co,其中⁶⁰Co毒性较大,因其半衰期较长(5.27 a)、主要γ射线的能量为1.173 MeV(99.86%)和1.333 MeV(99.98%),平均能量为1.253 MeV,而更具有环境毒理学意义^[2~6]。⁹⁵Zr是核电站反应堆的主要裂变产物之一,是压水堆核电站的主要放射性液态排放物。其γ射线的能量分别为0.235 MeV(0.9%)、0.724 MeV(44.5%)、0.757 MeV(54.6%)。含Zr的主要矿物是锆英石,其自然丰度为0.02%,熔点为1850℃,具有极强的抗腐蚀性,在水冷式的核反应堆中用Zr作铀棒的护套^[7~10]。

收稿日期:2007-10-14

基金项目:国家自然科学基金(39570149);江苏省环境保护厅资助项目(2003076)

作者简介:赵希岳(1965—),男,江苏泰州人,博士,副教授,主要从事生物工程、同位素示踪和放射生态学研究。

E-mail: xyzhao@jpu.edu.cn

对⁶⁰Co+⁹⁵Zr在生态环境中的行为研究尚未见报道。开展⁶⁰Co+⁹⁵Zr在生态环境中行为的基础研究,可以为评价核电站环境污染影响提供基础资料,为制定有关的标准和法规提供理论依据。本文采用 γ 多道能谱仪对⁶⁰Co+⁹⁵Zr固体样品的测量方法进行了研究摸索,以期找出最佳测定方法,为开展⁶⁰Co+⁹⁵Zr在生态环境中的行为动力学研究提供技术支撑。

1 材料与方法

1.1 供试核素的化合物



1.1.1 ⁶⁰Co示踪剂的转化与配制

中国原子能科学研究院提供的⁶⁰Co为铝壳包装的 $\varphi 1\text{ mm} \times 2\text{ mm}$ 钴粒(点源),出厂时比活度为 $3.19 \times 10^7\text{ Bq} \cdot \text{mg}^{-1}$ (1996-10-29),使用前转化为⁶⁰CoCl₂。其方法是:加入适量稀盐酸^[1],于80℃水浴恒温加热,待其溶解后转移至100 mL的容量瓶中,用蒸馏水定容;使用时再稀释成适当比活度的母液。

1.1.2 ⁹⁵Zr示踪剂的转化与配制

试验所用的⁹⁵Zr由中国原子能研究院同位素所提供,为粉末状的⁹⁵ZrO₂,放射性比活度为 $1.142 \times 10^8\text{ Bq} \cdot \text{g}^{-1}$ (2001-03-19,下同),放化纯度大于95%,使用前用氢氟酸^[1]将其转化为 $6.165 \times 10^6\text{ Bq} \cdot \text{mL}^{-1}$ 的⁹⁵ZrF₄溶液。实验时再稀释到合适的比活度。

1.2 测量仪器

γ 能谱测量采用BH1224型微机-多道一体化能谱仪(北京核仪器厂生产),配置倒置的 $\varphi 70\text{ mm}$ NaI闪烁探头,安装在铅屏蔽室中,其结构见图1。测样器皿采用自备的 $\varphi 75\text{ mm} \times 110\text{ mm}$ 的塑料杯(以下简称测样杯),将其置于倒置的闪烁探头上面,并用定位装置固定测量位置,以保证所有样品测量几何位置的一致性。

1.3 ⁶⁰Co+⁹⁵Zr水溶液的能谱测定

在1只装有19.00 mL蒸馏水的测样杯中加入含有⁶⁰Co+⁹⁵Zr水溶液1.00 mL(⁶⁰CoCl₂、⁹⁵ZrF₄各0.50 mL,比活度均为615 Bq·mL⁻¹,即各为307.5 Bq),将其摇匀后置于BH1244型微机-多道一体化能谱仪中进行能谱测量(高压623V,阈值0.28)。根据测得的能谱图,选定5个谱峰S₁(110~190)、S₂(380~500)、S₃(540~680)、S₄(1 440~1 630)、S₅(1 630~1 900)和全谱S₀(0~2 000)为计数测量道,并记录各道计数值。测量相对标准偏差控制在5%以内。

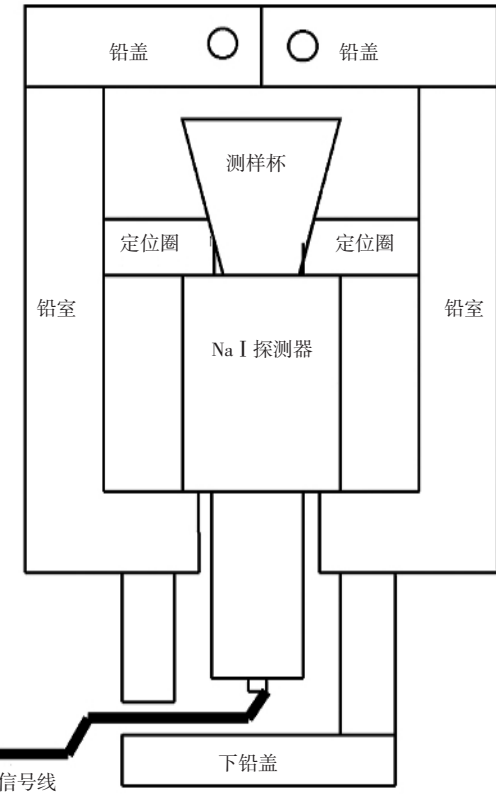


图1 γ 能谱仪探头结构图

Figure 1 Detector structure of γ -energy spectrometer

1.4 测量时间对计数率的影响

在3只各装有19.00 mL蒸馏水的测样杯中分别加入含有⁶⁰Co+⁹⁵Zr水溶液1.00 mL(比活度同1.3),将其摇匀后分别以0.5、1、2、3、5、7、10、15 min进行测量(3个重复)并记录各道(S₁、S₂、S₃、S₄、S₅和S₀)的计数。将测量结果换算成cpm,然后对测量结果进行线性拟合并计算 r^2 值。

1.5 样品的质量厚度对测量结果的影响

在15只测样杯中分别加入1.00、4.00、9.00、14.00、19.00 mL蒸馏水(每种水量3个重复),然后再加入含有⁶⁰Co+⁹⁵Zr水溶液各1.00 mL(比活度同1.3)。测量时间为3 min,并记录各道的计数。对每道的计数分别进行归一化处理后进行线性拟合并计算 r^2 值。

1.6 活度-计数响应曲线的测定

在24只测样杯中各加入蒸馏水10.00 mL,然后分别加入含有⁶⁰Co+⁹⁵Zr水溶液(⁶⁰CoCl₂、⁹⁵ZrF₄比活度均为50 Bq·mL⁻¹)10.00、7.00、5.00、4.00、3.00、2.00、1.00、0.50 mL(每种样品3个重复),并将各杯的总水量加至20.00 mL后摇匀。测量时间为3 min,并记录各道的计数。对测量结果进行线性拟合并计算 r^2 值。

2 结果与讨论

2.1 $^{60}\text{Co}+^{95}\text{Zr}$ 水溶液的能谱图

$^{60}\text{Co}+^{95}\text{Zr}$ 水溶液的能谱分布图如图 2 所示。有 5 个谱峰,以 S₁、S₂、S₃、S₄ 和 S₅ 表示,它们分别处在 110~190、380~500、540~680、1 440~1 630 和 1 630~1 900 能谱道区间内,从峰的形状大小和所处的位置分析,选取 S₃ 峰(能谱道 540~680)作为 ^{95}Zr 放射性活度测量道较为合适,S₅ 峰(能谱道 1 630~1 900)作为 ^{60}Co 放射性活度测量道较为合适。

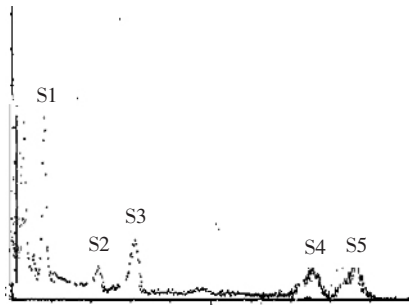


图 2 $^{60}\text{Co}+^{95}\text{Zr}$ 的 γ 能谱图

Figure 2 γ -ray energy spectrum curves of Cobalt-60 and Zirconium-95

2.2 测量时间对计数的影响

样品测量时间与计数的关系见表 1,对 6 组数据进行线性回归分析,其相关系数 r 均等于 1,表明在本研究条件下测量时间与计数完全服从线性关系,采用不同的测量时间对测样的计数率(计数/测量时间)没有明显影响。

2.3 样品的质量厚度对测量结果的影响

样品的质量厚度对测量结果的影响见表 2。随着样品的质量厚度的增加,同一活度的样品的测量值(归一化)呈同步下降,以 S₅、S₃ 道为例,当样品量从 2.00 mL 增至 20.00 mL 时, ^{60}Co 的计数效率将下降 10.72%, ^{95}Zr 的计数效率将下降 12.83%;经线性回归分析,6 组数据基本符合线性关系($r^2>0.91$); S₃ 道下降速率($0.0071\cdot\text{mL}^{-1}$)和 S₅ 道下降速率($0.0060\cdot\text{mL}^{-1}$)最快,S₁、S₄ 道次之,S₀、S₂ 道最慢;从线性关系的相关性看,S₃ 道和 S₅ 道(r^2 分别为 0.9811 和 0.9958)优于其余 4 道。表明样品的质量厚度不同对测量结果有一定的影响,对测量结果应进行校正。

2.4 活度-计数响应曲线的测定

不同活度的样品测得的计数值见表 3。各道计数值-活度响应关系的线性拟合结果显示:两者间存在显著的相关性(r^2 均大于 0.998),表明活度与计数间

表 1 测量时间对计数的影响

Table 1 Effect of measurement time on the count

测量道	测量时间/min							拟合方程	r^2
	0.5	1	2	3	5	7	10		
S ₀	69 425	13 939	279 810	417 813	697 404	978 038	1 395 756	2 099 666	$Y=139 802t$
S ₁	20 807	41 894	54 177	125 367	208 671	293 781	417 825	629 210	$Y=41 895t$
S ₂	7 416	15 020	29 927	45 196	75 445	105 846	149 545	225 818	$Y=15 039t$
S ₃	14 371	29 515	58 117	87 128	145 579	203 852	292 564	437 365	$Y=29 172t$
S ₄	14 148	28 260	56 481	84 888	141 135	197 538	282 135	423 054	$Y=9 404t$
S ₅	14 325	28 640	57 241	85 869	143 213	200 322	286 143	429 115	$Y=9 506t$

表 2 样品量对测量结果(归一化数据)的影响(%)

Table 2 Effect of the sample amount on measurement results (unitary data) (%)

测量道	样品量/mL					拟合方程	r^2
	2	5	10	15	20		
S ₀	100.00	98.77	98.76	95.37	92.32	$Y=1.013 3-0.004 1X$	0.910 8
S ₁	100.00	98.15	97.76	94.29	90.70	$Y=1.012 9-0.004 9X$	0.941 5
S ₂	100.00	99.06	98.23	94.93	92.52	$Y=1.013 1-0.004 2X$	0.957 6
S ₃	100.00	98.00	95.95	91.53	87.17	$Y=1.018 3-0.007 0X$	0.981 1
S ₄	100.00	98.90	97.02	94.09	90.93	$Y=1.014 1-0.005 0X$	0.985 4
S ₅	100.00	98.48	95.93	92.55	89.28	$Y=1.014 6-0.006 0X$	0.995 8

表3 活度与计数相关性
Table 3 Connection between activity and count

测量道	样品活度/Bq								回归方程	r^2
	500	350	250	200	150	100	50	25		
S ₀	1 897 154	1 357 659	995 297	794 450	598 710	405 097	203 437	106 865	$Y=1.127.4X$	0.998 7
S ₁	166 193	119 916	87 637	69 517	52 732	35 354	17 619	9 482	$Y=339.7X$	0.998 5
S ₂	59 942	43 318	31 533	25 102	18 739	12 816	6 538	3 509	$Y=112.5X$	0.998 5
S ₃	115 392	81 771	60 477	48 262	36 523	24 798	12 434	6 201	$Y=234.7X$	0.998 6
S ₄	113 826	80 985	59 652	47 879	36 086	24 511	12 387	6 284	$Y=231.9X$	0.998 5
S ₅	115 155	81 903	60 353	48 448	36 543	24 793	12 501	6 562	$Y=234.5X$	0.998 5

表4 计数率与探测效率校正系数的关系

Table 4 Connection between count ratio and calibration factor of detector efficiency

测量道	样品计数率/cps							
	384.6	272.6	201.6	160.9	121.7	82.7	41.4	20.7
	383.9	273.0	201.2	161.5	121.8	82.6	41.7	20.9
S ₃	0.931	0.942	0.975	0.973	0.982	1.000	1.002	1.000
S ₅	0.930	0.944	0.974	0.978	0.983	1.000	1.010	1.012

存在较好的线性关系。

综合表1、表2、表3的结果(主要是 r^2 值)及能谱图中峰的大小、位置和形状,选取S₃道作为样品⁹⁵Zr活度的测量道较为合适,S₅道作为样品⁶⁰Co活度的测量道较为合适,因此后面的试验只选用S₃、S₅道的测量值进行数据分析。

将表3中S₃道的数据换算成计数率(cps),并将100 Bq 样品的探测效率校正系数设为1,计算各活度样品的探测效率校正系数,计算结果列于表4。由表可见,当样品的计数率<100 cps时(即样品的放射性活度较小),仪器的探测效率校正系数基本不变,接近于1;但随着样品活度的增大,其探测效率校正系数呈下降的趋势,这主要是探测仪器的死时间引起的漏计数,对表4中前6对数据进行线性回归,得:

$$Y_3=101.33-0.0226X_3; r^2=0.9319$$

$$Y_5=101.56-0.0233X_5; r^2=0.9596$$

对高活度的放射性样品,对测量结果应进行校正。

3 结论

(1)选取S₃峰(540~680能谱道)作为样品⁹⁵Zr活度的测量道较为合适,S₅峰(1 630~1 900能谱道)作为样品⁶⁰Co活度的测量道较为合适。

(2)同一样品的测量时间长短对测样的计数率没有明显影响(样品活度大于本底1倍以上)。

(3)样品的质量厚度不同(活度相同的样品)对测量结果有一定的影响,对测量结果应进行校正,校正曲线⁶⁰Co为 $Y_1=1.0146-0.0060X_1$,⁹⁵Zr为 $Y_2=1.0183-0.0070X_2$ (X_1 、 X_2 为测样的样品量mL)。

(4)对高活度的样品应对测量结果进行校正,其校正系数⁹⁵Zr为 $Y_3=101.33-0.0226X_3$;⁶⁰Co为 $Y_5=101.56-0.0233X_5$;(X_3 、 X_5 为测样的计数率cps,该方程仅适用于本试验所用型号的仪器,其他型号的仪器需重新作校正曲线)。

参考文献:

- [1] Whicker F W, Schultz V. Radioecology: nuclear energy and the environment[M]. Volume I, Florida: CRC Press, Inc., 1982.155.
- [2] Kruglov S V, Vasil'yeva N A, Kurinov A D, et al. Distribution of radionuclides from Chernobyl fallout with regard to fractions of the soil-particle distribution of sod-podzolic soils [J]. Eurasian Soil Science, 1996, 28:7,26-35.
- [3] Yirchenko Ye P, Agapkina G I. Organic radionuclide compounds in soils surrounding the Chernobyl Nuclear Power Plant[J]. Eurasian Soil Science, 1993, 25: 12, 51-59.
- [4] 孙志明,陈传群,王寿祥,等.放射性钴在模拟水稻田中的迁移模型[J].生态学报,2001,21(6):938-941.
SUN Zhi-ming, CHEN Chuan-qun, WANG Shou-xiang, et al. A transference model of radioactive cobalt in simulated paddy[J]. Acta Ecologica Sinica, 2001, 21(6): 938-941.
- [5] 王云,魏复盛.土壤环境元素化学[M].北京:中国环境科学出版社,1995.74-90.
WANG Yun, WEI Fu-sheng. Soil environment element chemistry[M].

Beijing: Chinese Environment Science Press, 1995.74–90.

- [6] 熊 蓝,陈家坊.土壤胶体-第三册:土壤胶体的性质[M].北京:科学出版社, 1990.

XIONG Yi, CHEN Jia-fang. Soil colloid Volume 3: The property of the soil colloid [M]. Beijing: Science Press, 1990.

- [7] 赵希岳,史建君,刘立丽,等.放射性核素⁹⁵Zr在土壤中吸附的研究[J].农业环境保护, 2001, 20(5): 305–307.

ZHAO Xi-yue, SHI Jian-jun, LIU Li-li, et al. Study on adsorption of radioactive nuclide zirconium-95 in soils[J]. *Agro-environmental Protection*, 2001, 20(5): 305–307.

- [8] Shi J J, Guo J F, Chen H. Dynamics of ⁹⁵Zr in the rice/water/soil system [J]. *Applied Radiation and Isotopes*, 2002, 56:735–740.

- [9] Liu L L, Shi J J, Zhao X Y, et al. Dynamics of transfer and distribution of

⁹⁵Zr in the broadbean-soil ecosystem[J]. *Journal of Environmental Radioactivity*, 2005, 80:217–223.

- [10] 赵希岳,史建君,王寿祥,等.小麦-土壤系统中⁹⁵Zr的消长动态[J].农业环境保护, 2002, 21(6): 493–496.

ZHAO Xi-yue, SHI Jian-jun, WANG Shou-xiang, et al. Dynamics of accumulation and disappearance of zirconium-95 in wheat-soil system [J]. *Agro-environmental Protection*, 2002, 21(6): 493–496.

- [11] 陈寿椿.重要无机化学反应[M].(第三版)上海:上海科学技术出版社, 1994.1018–1036.

CHEN Shou-chun. The important abiochemistry reaction[M]. (the third press)Shanghai: Shanghai Science and Technology Press, 1994. 1018–1036.